

Računalniško podprto geometrijsko oblikovanje

**Iskanje presečišč Bèzierjevih krivulj z metodo hibridnih
izrezkov**

Domen Keglevič

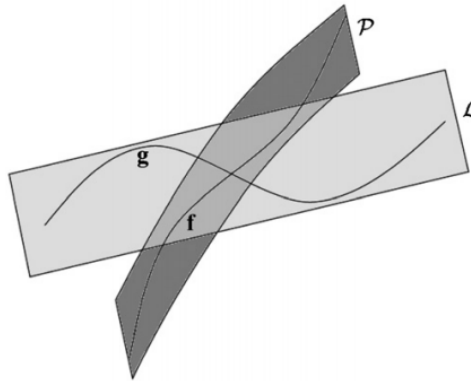
1. UVOD

V seminarski nalogi nas bo zanimalo kako najti presečišča dveh ravninskih Bèzierjevih krivulj. Ta problem lahko opišemo na naslednji način. Naj bosta $\mathbf{f} : [\alpha, \beta] \rightarrow \mathbb{R}^2$ in $\mathbf{g} : [\xi, \eta] \rightarrow \mathbb{R}^2$ ravninski Bèzierjevi krivulji. Želimo najti učinkovit algoritem, ki za poljuben $\epsilon > 0$ vrne pare intervalov $[\alpha_i, \beta_i]$ in $[\xi_i, \eta_i]$, ki vsebujejo presečišča $\mathbf{f}(t_i) = \mathbf{g}(s_i)$, $t_i \in [\alpha_i, \beta_i]$, $s_i \in [\xi_i, \eta_i]$, tako da velja $|\alpha_i - \beta_i| < \epsilon$ in $|\xi_i - \eta_i| < \epsilon$.

Ta problem se da rešiti na več načinov. Tu bomo predstavili metodo hibridnih izrezkov, ki je razširitev metode Bèzierjevih izrezkov.

Metoda Bèzierjevih izrezkov najprej aproksimira krivuljo \mathbf{g} z ozkim pasom \mathcal{L} v ravnini (*fat line*), tako da \mathbf{g} leži znotraj \mathcal{L} . Nato izračuna presek pasa \mathcal{L} in konveksne ovojnice kontrolnih točk krivulje \mathbf{f} , ter definicijsko območje krivulje \mathbf{f} omeji na intervale, kjer je presek neprazen. Nato vlogi \mathbf{f} in \mathbf{g} zamenja in postopek ponavlja, dokler ne pride do željene natančnosti.

Ideja metode hibridnih izrezkov je podobna kot ideja metode Bèzierjevih izrezkov, le da ne opazujemo presek pasa \mathcal{L} s konveksno ovojnico kontrolnih točk krivulje \mathbf{f} , ampak z območjem \mathcal{P} (*fat curve*). Tega dobimo tako, da z nižanjem stopnje krivulje \mathbf{f} dobimo aproksimacijo, ki jo lahko premaknemo v dve nasprotni smeri tako, da je krivulja \mathbf{f} vsebovana v območju \mathcal{P} vmes (slika (1)). Nato krivuljo \mathbf{f} zmanjšamo na tiste intervale, kjer je presek $\mathcal{L} \cap \mathcal{P}$ neprazen. V naslednjem koraku vlogi \mathbf{f} in \mathbf{g} zamenjamo in postopek ponavljamo do željene natančnosti.



SLIKA 1. *Fat line* \mathcal{L} in *fat curve* \mathcal{P} , ki omejujeta \mathbf{g} in \mathbf{f} .

2. METODA HIBRIDNIH IZREZKOV

Vpeljimo nekaj oznak, ki jih bomo uporabljali v nadaljevanju. Z

$$B_{i,[\alpha,\beta]}^n(t) = \binom{n}{i} \frac{(t-\alpha)^i(\beta-t)^{n-i}}{(\beta-\alpha)^n}$$

označimo i -ti Bernsteinov bazni polinom stopnje n na intervalu $[\alpha, \beta]$. Intervale $[\alpha, \beta]$ namesto intervala $[0, 1]$ opazujemo zato, ker bo algoritem generiral zaporedje vedno manjših intervalov.

Naj bosta \mathbf{f} in \mathbf{g} ravninski Bèzierjevi krivulji dani z

$$\mathbf{f}(t) = \sum_{i=0}^n \mathbf{a}_i B_{i,[\alpha,\beta]}^n(t), \quad t \in [\alpha, \beta]$$

in

$$\mathbf{g}(s) = \sum_{j=0}^m \mathbf{b}_j B_{j,[\xi,\eta]}^m(s), \quad s \in [\xi, \eta],$$

kjer so $\mathbf{a}_i, \mathbf{b}_j \in \mathbb{R}^2$ kontrolne točke od \mathbf{f} oz. \mathbf{g} . Naj bo $\|\cdot\|$ Evklidska norma na \mathbb{R}^2 . Definiramo še naslednje norme:

(1) Normalizirana L_2 norma

$$\|\mathbf{f}\|_2^{[\alpha,\beta]} = \sqrt{\frac{1}{\beta-\alpha} \int_{\alpha}^{\beta} \|\mathbf{f}(t)\|^2 dt},$$

(2) L_{∞} norma

$$\|\mathbf{f}\|_{\infty}^{[\alpha,\beta]} = \max_{t \in [\alpha,\beta]} \|\mathbf{f}(t)\|,$$

(3) BB norma

$$\|\mathbf{f}\|_{\text{BB}}^{[\alpha,\beta]} = \max_{i=0,\dots,n} \|\mathbf{a}_i\|.$$

2.1. Fat line. Naj bo \mathbf{n} normalni vektor, ki je pravokoten na $\mathbf{b}_m - \mathbf{b}_0$. Definiramo predznačeni razdalji

$$d_{\max} = \max_{i=0,\dots,m} (\mathbf{n} \cdot (\mathbf{b}_i - \mathbf{b}_0)),$$

$$d_{\min} = \min_{i=0,\dots,m} (\mathbf{n} \cdot (\mathbf{b}_i - \mathbf{b}_0)).$$

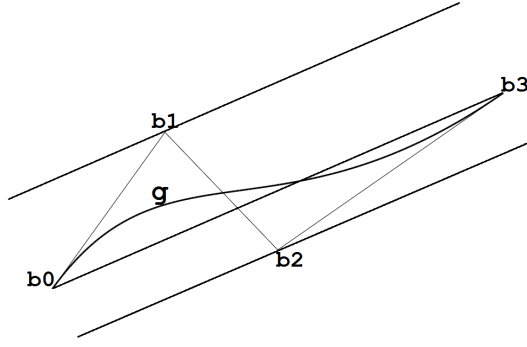
Množico \mathcal{L} , ki ga sestavljajo točke, ki so od premice $\mathbf{b}_0\mathbf{b}_m$ oddaljene kvečjemu za d_{\min} oz. d_{\max} imenujemo *fat line*. Krivulja \mathbf{g} je vsebovana v \mathcal{L} , saj je v \mathcal{L} vsebovana njena konveksna ovojnica.

2.2. Fat curve. Naj bo $\hat{\mathbf{p}}(t)$ polinom stopnje $k < n$, ki optimalno aproksimira $\mathbf{f}(t)$ glede na normo L_2 . Konstruiramo ga s pomočjo nižanja stopnje krivulje $\mathbf{f}(t)$, kot je opisano v [referenca](#). S pomočjo višanja stopnje mu lahko zvišamo stopnjo do n in zapišemo

$$\hat{\mathbf{p}}(t) = \mathbf{p}(t) = \sum_{i=0}^n \mathbf{c}_i B_{i,[\alpha,\beta]}^n(t),$$

kjer so \mathbf{c}_i nove kontrolne točke. Naj bo

$$\delta = \|\mathbf{f}(t) - \mathbf{p}(t)\|_{\text{BB}}^{[\alpha,\beta]}. \quad (1)$$



SLIKA 2. Krivulja \mathbf{g} in *fat line*.

Velja naslednja ocena

$$\|\mathbf{f}(t) - \mathbf{p}(t)\| = \left\| \sum_{i=0}^n (\mathbf{a}_i - \mathbf{c}_i) B_{i, [\alpha, \beta]}^n(t) \right\| \leq \sum_{i=0}^n \|\mathbf{a}_i - \mathbf{c}_i\| B_{i, [\alpha, \beta]}^n(t) \leq \delta.$$

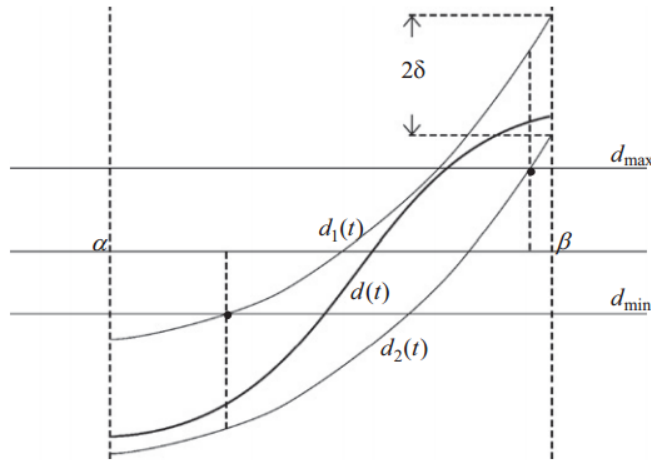
Sledi, da $\mathbf{f}(t)$ leži med $\mathbf{p}_1(t) = \hat{\mathbf{p}}(t) + \delta \mathbf{n}(t)$ in $\mathbf{p}_2(t) = \hat{\mathbf{p}}(t) - \delta \mathbf{n}(t)$, kjer je \mathbf{n} normala pravokotna na $\mathbf{b}_m - \mathbf{b}_0$ (kot v *fat line*). Naj bo

$$\begin{aligned} d(t) &= \mathbf{n} \cdot (\mathbf{f}(t) - \mathbf{b}_0), \quad d_0(t) = \mathbf{n} \cdot (\mathbf{p}(t) - \mathbf{b}_0) \\ d_1(t) &= \mathbf{n}(\mathbf{p}_1(t) - \mathbf{b}_0) = d_0(t) + \delta \\ d_2(t) &= \mathbf{n}(\mathbf{p}_2(t) - \mathbf{b}_0) = d_0(t) - \delta. \end{aligned}$$

Potem velja ocena

$$|d(t) - d_0(t)| = |\mathbf{n} \cdot (\mathbf{f}(t) - \mathbf{p}(t))| \leq \|\mathbf{n}\| \cdot \|\mathbf{f}(t) - \mathbf{p}(t)\| \leq \|\mathbf{f}(t) - \mathbf{p}(t)\|_{\infty}^{[\alpha, \beta]} \leq \delta.$$

To pomeni, da $d(t)$ leži v pasu med $d_1(t)$ in $d_2(t)$ kot prikazuje slika (3).



SLIKA 3

2.3. Iskanje intervalov. Iz zgornjih dveh razdelkov vemo, da je (predznačena) razdalja točke $\mathbf{g}(t)$ od premice $\mathbf{b}_0\mathbf{b}_m$ med d_{\min} in d_{\max} , ter da je (predznačena) razdalja točke $\mathbf{f}(t)$ od premice $\mathbf{b}_0\mathbf{b}_m$ med $d_1(t)$ in $d_2(t)$. Vsa tista območja, kjer je $d_1(t) < d_{\min}$ in $d_2(t) > d_{\max}$, lahko zavržemo. Natančneje, če najdemo rešitve enačb

$$d_1(t) = d_{\min} \text{ in } d_2(t) = d_{\max},$$

potem lahko v domeni krivulje \mathbf{f} najdemo intervale $[\alpha_i, \beta_i]$, ki jih iščemo. V obeh enačbah iščemo ničle polinoma. Če smo krivuljo \mathbf{f} aproksimirali s krivuljo stopnje 2 ali 3, potem lahko ti dve enačbi rešimo analitično, kar je v praksi najbolj učinkovita možnost.

2.4. Psevdo koda algoritma.

Vhod: $(\mathbf{f}, \mathbf{g}, [\alpha, \beta], [\xi, \eta], k)$: ravninski Bèzierjevi krivulji, njuni domeni in stopnja aproksimacijske krivulje

```

1: if  $|\alpha - \beta| < \epsilon$  in  $|\xi - \eta| < \epsilon$  then                                ustavitveni pogoji
2:   return  $[\alpha, \beta], [\xi, \eta]$ 
3: else
4:   if  $|\alpha - \beta| < |\xi - \eta|$  then                                       če ima  $\mathbf{f}$  manjšo domeno
5:      $\text{HybridClip}(\mathbf{g}, \mathbf{f}, [\xi, \eta], [\alpha, \beta], k)$                      zamenjamo vloge  $\mathbf{f}$  in  $\mathbf{g}$ 
6:   else
7:      $L, C \leftarrow \text{fat line}(\mathbf{g}), \text{fat curve}(\mathbf{f})$                        aproksimiraj  $\mathbf{f}$  in  $\mathbf{g}$ 
8:     Najdi intervale  $[\alpha_i, \beta_i]$ , kjer je  $L \cap C \neq \emptyset$ 
9:     if  $l > 0$  in  $\max_{i=1, \dots, l} \{|\alpha_i - \beta_i|\} \geq \frac{1}{2}|\alpha - \beta|$  then   aproksimacija ni dobra
10:      return  $\text{HybridClip}(\mathbf{f}, \mathbf{g}, [\alpha, \frac{1}{2}(\alpha + \beta)], [\xi, \frac{1}{2}(\xi + \eta)], k)$ 
            $\cup \text{HybridClip}(\mathbf{f}, \mathbf{g}, [\alpha, \frac{1}{2}(\alpha + \beta)], [\frac{1}{2}(\xi + \eta), \eta], k)$ 
            $\cup \text{HybridClip}(\mathbf{f}, \mathbf{g}, [\frac{1}{2}(\alpha + \beta), \beta], [\frac{1}{2}(\xi + \eta), \eta], k)$ 
            $\cup \text{HybridClip}(\mathbf{f}, \mathbf{g}, [\frac{1}{2}(\alpha + \beta), \beta], [\xi, \frac{1}{2}(\xi + \eta)], k)$ 
11:    else                                                                    aproksimacija je dobra
12:       $S \leftarrow \emptyset$ 
13:      for  $i = 1, \dots, l$  do
14:         $S \leftarrow S \cup \text{HybridClip}(\mathbf{f}, \mathbf{g}, [\alpha_i, \beta_i], [\xi, \eta], k)$    rekurziven klic
15:      end for
16:      return  $S$                                                                 vrnemo rezultat
17:    end if
18:  end if
19: end if
```

3. RED KONVERGENCE

Trditev 3.1. *invarianca norm za afine transformacije*

Dokaz. □

Lema 3.2. *Naj bo \mathbf{f} ravninska Bèzierjeva krivulja in \mathbf{p} njena optimalna L_2 aproksimacija stopnje k . Potem obstaja konstanta C , da za poljuben interval $[\alpha, \beta] \subseteq [0, 1]$ velja $\|\mathbf{f} - \mathbf{p}\|_{BB}^{[\alpha, \beta]} \leq C|\alpha - \beta|^{k+1}$.*

Dokaz. Spomnimo se, da za poljubni normi $\|\cdot\|_1$ in $\|\cdot\|_2$ na končno dimenzionalnem vektorskem prostoru V obstajata konstanti $0 < C_1 \leq C_2$, tako da je

$$C_1\|v\|_2 \leq \|v\|_1 \leq C_2\|v\|_2, \quad v \in V. \quad (2)$$

Zato obstajata konstanti D_1 in D_2 , da je $\|\mathbf{r}\|_{BB}^{[\alpha,\beta]} \leq D_1 \|\mathbf{r}\|_2^{[\alpha,\beta]}$ in $\|\mathbf{r}\|_2^{[\alpha,\beta]} \leq D_2 \|\mathbf{r}\|_\infty^{[\alpha,\beta]}$ za vsak $\mathbf{r} \in \Pi_{[\alpha,\beta]}^n$. Pri tem konstanti D_1 in D_2 nista odvisni od intervala $[\alpha, \beta]$, saj so po trditvi (3.1) norme invariantne glede na afine transformacije.

Od tod sledi, da je $\|\mathbf{f} - \mathbf{p}\|_{BB}^{[\alpha,\beta]} \leq D_1 \|\mathbf{f} - \mathbf{p}\|_2^{[\alpha,\beta]}$. Naj bodo komponente \mathbf{q}_α Taylorjevi polinomi stopnje k razviti okrog točke $t = \alpha$ za vsako komponento krivulje \mathbf{f} . Potem velja

$$D_1 \|\mathbf{f} - \mathbf{p}\|_2^{[\alpha,\beta]} \leq D_1 \|\mathbf{f} - \mathbf{q}_\alpha\|_2^{[\alpha,\beta]},$$

saj je \mathbf{p} optimalna L_2 aproksimacija za \mathbf{f} . Iz (2) sledi, da je $D_1 \|\mathbf{f} - \mathbf{q}_\alpha\|_2^{[\alpha,\beta]} \leq D_1 D_2 \|\mathbf{f} - \mathbf{q}_\alpha\|_\infty^{[\alpha,\beta]}$. Spomnimo se, da lahko razliko med $\mathbf{f}(t) - \mathbf{q}_\alpha(t)$ zapišemo v obliki

$$\mathbf{f}(t) - \mathbf{q}_\alpha(t) = \frac{\mathbf{f}^{(k+1)}(t_0)}{(k+1)!} (t - \alpha)^{k+1},$$

kjer je $\mathbf{f}^{(k+1)}$ $(k+1)$ -vi odvod krivulje \mathbf{f} in kjer vse člene opazujemo po komponentah. Od tod dobimo oceno

$$D_1 D_2 \|\mathbf{f} - \mathbf{q}_\alpha\|_\infty^{[\alpha,\beta]} \leq \frac{\sqrt{2}}{(k+1)!} D_1 D_2 \max_{t \in [0,1]} \|\mathbf{f}^{(k+1)}(t_0)\| |\alpha - \beta|^{k+1}.$$

□

Lema 3.3. *Naj bo \mathbf{f} ravninska Bèzierjeva krivulja stopnje n . Potem obstajajo konstante C_j , tako da za poljuben interval $[\alpha, \beta] \subseteq [0, 1]$ in optimalno L_2 aproksimacijo \mathbf{p} stopnje k od \mathbf{f} velja $\|\mathbf{f}^{(j)} - \mathbf{p}^{(j)}\|_\infty \leq C_j |\alpha - \beta|^{k+1-j}$, za $j = 0, 1, \dots, k$.*

Dokaz. Definirajmo novo normo z naslednjim predpisom

$$\|\mathbf{r}\|_*^{[\alpha,\beta]} = \|\mathbf{r}\|_\infty^{[\alpha,\beta]} + |\alpha - \beta| \|\mathbf{r}'\|_\infty^{[\alpha,\beta]} + \dots + |\alpha - \beta|^k \|\mathbf{r}^{(k)}\|_\infty^{[\alpha,\beta]}.$$

To je res norma, saj je $\|\cdot\|_\infty$ norma. Po trditvi (3.1) in iz **neka referenca** sledi, da obstaja konstanta D_1 , da je

$$\|\mathbf{r}\|_*^{[\alpha,\beta]} \leq D_1 \|\mathbf{r}\|_2^{[\alpha,\beta]}.$$

S pomočjo te ocene lahko zapišemo

$$\begin{aligned} \|\mathbf{f} - \mathbf{p}\|_*^{[\alpha,\beta]} &= \|\mathbf{f} - \mathbf{p}\|_\infty^{[\alpha,\beta]} + |\alpha - \beta| \|\mathbf{f}' - \mathbf{p}'\|_\infty^{[\alpha,\beta]} + \dots + \\ &\quad + |\alpha - \beta|^k \|\mathbf{f}^{(k)} - \mathbf{p}^{(k)}\|_\infty^{[\alpha,\beta]} \leq D_1 \|\mathbf{f} - \mathbf{p}\|_2^{[\alpha,\beta]} \end{aligned}$$

Sedaj podobno kot v lemi (3.2) s pomočjo Taylorjevega polinoma in izreka o ostanku ocenimo

$$\begin{aligned} D_1 \|\mathbf{f} - \mathbf{p}\|_2^{[\alpha,\beta]} &\leq D_1 \|\mathbf{f} - \mathbf{q}_\alpha\|_2^{[\alpha,\beta]} \leq D_1 D_2 \|\mathbf{f} - \mathbf{q}_\alpha\|_\infty^{[\alpha,\beta]} \leq \\ &\quad \frac{\sqrt{2}}{(k+1)!} D_1 D_2 \max_{t \in [0,1]} \|\mathbf{f}^{(k+1)}(t_0)\| |\alpha - \beta|^{k+1}. \end{aligned}$$

□

Definicija 3.4. *Naj bosta $\mathbf{f}(t)$ in $\mathbf{g}(s)$ ravninski Bèzierjevi krivulji s presečiščem $\mathbf{z}_0 = \mathbf{f}(t_0) = \mathbf{g}(s_0)$. Presečišče \mathbf{z}_0 imenujemo:*

- transverzalno presečišče, če je $\mathbf{f}'(t_0) \times \mathbf{g}'(s_0) \neq \mathbf{0}$,
- tangentno presečišče, če je $\mathbf{f}'(t_0) \times \mathbf{g}'(s_0) = \mathbf{0}$ in $\mathbf{f}'(t_0) \neq \mathbf{0}$, $\mathbf{g}'(s_0) \neq \mathbf{0}$, in
- degenerirano presečišče, če je $\mathbf{f}'(t_0) = \mathbf{0}$ ali $\mathbf{g}'(s_0) = \mathbf{0}$.

Trditev 3.5. Naj imata Bezierjevi krivulji \mathbf{f} in \mathbf{g} transversalno presečišče v $\mathbf{f}(t_0) = \mathbf{g}(s_0)$. Potem obstajajo konstante C_f, C'_f, C_g in C'_g , da za dovolj velike $i \in \mathbb{N}$ velja

$$|\alpha_{i+1} - \beta_{i+1}| \leq C_f |\alpha_i - \beta_i|^{k+1} + C_g |\xi_i - \eta_i|^2 \quad (3)$$

oz.

$$|\xi_{i+1} - \eta_{i+1}| \leq C'_f |\alpha_i - \beta_i|^2 + C'_g |\xi_i - \eta_i|^{k+1}. \quad (4)$$

Dokaz. Dokazali bomo le neenakost (3), saj je dokaz za (4) podoben.

Naj bosta $[\alpha_i, \beta_i]$ in $[\xi_i, \eta_i]$ zaporedji intervalov, ki jih algoritem generira. Oglejmo si kako se algoritem obnaša za velike i . Ker se dolžine intervalov v vsakem koraku zmanjšajo vsaj za polovico, je

$$\lim_{i \rightarrow \infty} |\alpha_i - \beta_i| = 0 \text{ in } \lim_{i \rightarrow \infty} |\xi_i - \eta_i| = 0.$$

Sledi, da $\mathbf{b}_0 \mathbf{b}_m$ konvergira proti tangenti $\mathbf{g}'(s_0)$. Zato gre normala \mathbf{n} na $\mathbf{b}_0 \mathbf{b}_m$ proti normalni \mathbf{n}_0 na $\mathbf{g}(s_0)$.

Naj bo $\omega = \mathbf{n}_0 \cdot \mathbf{f}'(t_0)$. Po predpostavki je $\mathbf{f}'(t_0) \times \mathbf{g}'(s_0) \neq \mathbf{0}$, torej je $\omega \neq 0$.

Oglejmo si situacijo v i -tem koraku algoritma, ki jo prikazuje slika (??). Velja

$$|\alpha_{i+1} - \beta_{i+1}| = h_{i+1, \mathbf{f}} \leq L_{i+1} = l_{i+1,1} + l_{i+1,2} + l_{i+1,3}.$$

Želimo oceniti člene na desni strani neenakosti. Ker je $\frac{\omega}{4} = \frac{d_{\max} - d_{\min}}{l_{i+1,1} + l_{i+1,3}}$ je

$$l_{i+1,1} + l_{i+1,3} = \frac{4(d_{\max} - d_{\min})}{\omega}. \quad (5)$$

Želimo oceniti še člen $l_{i+1,2}$. V ta namen si najprej oglejmo ali sta funkciji $d_1(t)$ in $d_2(t)$ naraščajoči. Najprej opazimo, da obstaja tak $\epsilon_1 > 0$, da je za dovolj velike i

$$|d'(t_0) - \omega| = |\mathbf{n} \cdot \mathbf{f}'(t_0) - \mathbf{n}_0 \cdot \mathbf{f}'(t_0)| < \frac{\omega}{4}, \quad (6)$$

ko je $|\xi_i - \eta_i| < \epsilon_1$, saj gre \mathbf{n} proti \mathbf{n}_0 , ko $i \rightarrow \infty$. Obstaja tudi tak $\epsilon_2 > 0$, da je za dovolj velike i

$$\|\mathbf{f}'(t) - \mathbf{f}'(t_0)\| < \frac{\omega}{4}, \quad (7)$$

ko je $|\alpha_i - \beta_i| < \epsilon_2$ saj je \mathbf{f}' zvezna. Dalje obstaja tudi tak $\epsilon_3 > 0$, da za dovolj velike i velja

$$|d'(t) - d'_1(t)| < \frac{\omega}{4}, \quad (8)$$

ko je $|\alpha_i - \beta_i| < \epsilon_3$, saj po lemi (3.3) velja

$$|d'(t) - d'_1(t)| = |\mathbf{n} \cdot (\mathbf{f}'(t) - \mathbf{p}'(t))| \leq \|\mathbf{f}'(t) - \mathbf{p}'(t)\| \leq \|\mathbf{f}'(t) - \mathbf{p}'(t)\|_{\infty}^{[\alpha, \beta]} \leq C |\alpha_i - \beta_i|^k.$$

Naj bo $\epsilon_4 = \min(\epsilon_1, \epsilon_2, \epsilon_3)$. S pomočjo ocen (6) in (7) lahko ocenimo

$$\begin{aligned} |d'(t) - \omega| &= |\mathbf{n} \cdot \mathbf{f}'(t) - \mathbf{n}_0 \cdot \mathbf{f}'(t_0)| \\ &\leq |\mathbf{n} \cdot \mathbf{f}'(t) - \mathbf{n} \cdot \mathbf{f}'(t_0)| + |\mathbf{n} \cdot \mathbf{f}'(t_0) - \mathbf{n}_0 \cdot \mathbf{f}'(t_0)| \\ &\leq \|\mathbf{f}'(t) - \mathbf{f}'(t_0)\| + |d'(t_0) - \omega| \\ &\leq \frac{\omega}{4} + \frac{\omega}{4} = \frac{\omega}{2}, \end{aligned}$$

za vse dovolj velike i , tako da je $|\alpha_i - \beta_i| < \epsilon_4$ in $|\xi_i - \eta_i| < \epsilon_4$. Zato je

$$d'(t) < \frac{\omega}{2}, \quad (9)$$

in skupaj z (8) dobimo, da je $d'_1(t) = d'_2(t) > \frac{\omega}{4}$. Torej smo ugotovili, da sta funkciji $d_1(t)$ in $d_2(t)$ strogo naraščajoči na dovolj poznih intervalih $[\alpha_i, \beta_i]$.

Od tod sledi, da za poljuben y_0 , za katerega velja $d_1(\alpha_i) < y_0 < d_2(\beta_i)$, velja, da imata enačbi $d_1(t) = y_0$ in $d_2(t) = y_0$ rešitvi t_1 in t_2 na intervalu $[\alpha_i, \beta_i]$. Zato je

$$l_{i+1,2} \leq \sup_{y_0 \in (d_1(\alpha_i), d_2(\beta_i))} \{|t_1 - t_2|; d_1(t_1) = d_2(t_2) = y_0\}.$$

Če najdemo oceno za $|t_1 - t_2|$, potem lahko s pomočjo zgornje enačbe ocenimo $l_{i+1,2}$. Oceno za $|t_1 - t_2|$ bomo dobili na sledeč način. Opazimo, da za $d_1(t_1) = d_2(t_2) = y_0$ velja

$$\mathbf{n} \cdot (\mathbf{p}(t_1) - \mathbf{p}(t_2)) = 2\delta,$$

kjer je δ kot v **delta**. Naj bo $\mathbf{p}(t) = (x(t), y(t))$. Potem po Lagrange-ovem izreku o srednji vrednosti obstajata takšna t^* in t^\diamond , da je

$$\mathbf{p}(t_1) - \mathbf{p}(t_2) = (x(t_1) - x(t_2), y(t_1) - y(t_2)) = (x'(t^*)(t_1 - t_2), y'(t^\diamond)(t_1 - t_2)).$$

Od tod dobimo oceno

$$\begin{aligned} & |\mathbf{n} \cdot (x'(t^*), y'(t^\diamond)) - d'(t)| \\ &= |\mathbf{n}(x'(t^*), y'(t^\diamond)) - \mathbf{n} \cdot \mathbf{f}'(t)| \\ &\leq \|(x'(t^*), y'(t^\diamond)) - \mathbf{f}'(t)\| \\ &= \|(x'(t^*), y'(t^*)) - \mathbf{f}'(t) + (0, y'(t^\diamond)) - (0, y'(t^*))\| \\ &\leq \|\mathbf{p}'(t^*) - \mathbf{f}'(t)\| + \|\mathbf{p}'(t^\diamond) - \mathbf{p}'(t^*)\| \\ &\leq \|\mathbf{p}'(t^*) - \mathbf{p}'(t)\| + \|\mathbf{p}'(t) - \mathbf{f}'(t)\| + \|\mathbf{p}'(t^\diamond) - \mathbf{p}'(t^*)\| \\ &\leq 2 \max_{t^1, t^2 \in [\alpha_i, \beta_i]} \|\mathbf{p}'(t^1) - \mathbf{p}'(t^2)\| + \|\mathbf{p}'(t) - \mathbf{f}'(t)\|_{\infty}^{[\alpha_i, \beta_i]}. \end{aligned}$$

Po lemi (3.3) in ker je $\mathbf{p}'(t)$ enakomerno zvezna na $[\alpha_i, \beta_i]$ obstaja $\epsilon_5 > 0$, da za dovolj velike i velja

$$\begin{aligned} \max_{t^1, t^2 \in [\alpha_i, \beta_i]} \|\mathbf{p}'(t^1) - \mathbf{p}'(t^2)\| &< \frac{\omega}{16}, \\ \|\mathbf{p}'(t) - \mathbf{f}'(t)\|_{\infty}^{[\alpha_i, \beta_i]} &< \frac{\omega}{8}, \end{aligned}$$

ko je $|\alpha_i - \beta_i| < \epsilon_5$. Naj bo $\epsilon_0 = \min(\epsilon_4, \epsilon_5)$. Potem je

$$|\mathbf{n} \cdot (x'(t^*), y'(t^\diamond)) - d'(t)| < \frac{\omega}{4},$$

ko je $|\alpha_i - \beta_i| < \epsilon_0$ in $|\xi_i - \eta_i| < \epsilon_0$. Če (9) kombiniramo z zgornjo neenakostjo dobimo oceno

$$\mathbf{n} \cdot (x'(t^*), y'(t^\diamond)) > \frac{\omega}{4}.$$

Ker je $2\delta_i = \mathbf{n} \cdot (\mathbf{p}(t_1) - \mathbf{p}(t_2)) = (t_1 - t_2)\mathbf{n} \cdot (x'(t^*), y'(t^\diamond))$, dobimo

$$|t_1 - t_2| < \frac{2\delta_i}{\omega/4} = \frac{8\delta_i}{\omega}.$$

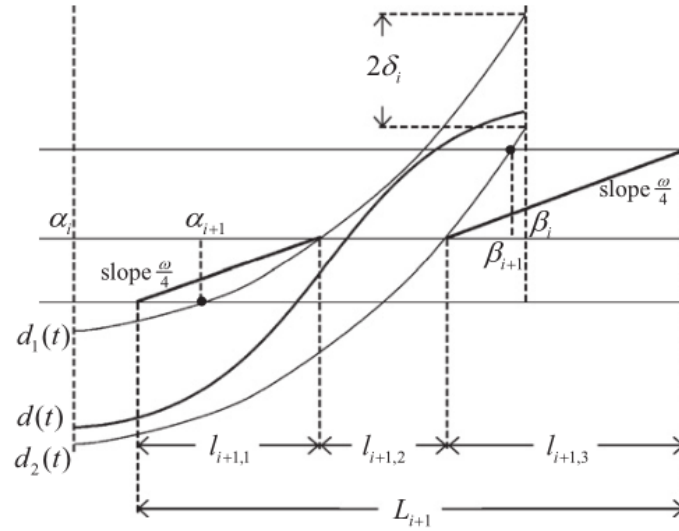
□

4. ZAKLJUČKI

grafi, komentarji

LITERATURA

- [1] Sederberg T, Nishita T. Curve intersection using Bèzier clipping. Comput Aided Des 1990;22(9):538–49.
- [2] I. Priimek, *Naslov članka*, okrajšano ime revije **letnik revije** (leto izida) strani od–do.
- [3] C. Velkovich, *Nekaj navodil avtorjem za pripravo rokopisa*, Obzornik mat. fiz. **21** (1974) 62–64.



SLIKA 4. Situacija v i -tem koraku algoritma.